

## PHILIPS „MINIWATT“

Heizspannung . . . . .			
Tension de chauffage . . . . .	$V_f$	=	2.0 V
Filament voltage . . . . .			
Heizstrom . . . . .			ca.
Courant de chauffage . . . . .	$I_f$	=	env. 0,18 A
Filament current . . . . .			appr.
Anodenspannung . . . . .			
Tension anodique . . . . .	$V_{a \max}$	=	150 V
Anode voltage . . . . .			
Schirmgitterspannung . . . . .			
Tension de grille-écran . . . . .	$V_{g'}$	=	90 V
Screen-grid voltage . . . . .			
Normaler Anodenstrom . . . . .			ca.
Courant anodique normal . . . . .	$I_a$	=	env. 1,8 mA
Normal anode current . . . . .			appr.
( $V_g = -0,5$ V)			
Normaler Anodenstrom . . . . .			ca.
Courant anodique normal . . . . .	$I_a$	=	env. 0,1 mA
Normal anode current . . . . .			appr.
( $V_g = -7$ V)			
Verstärkungsfaktor . . . . .			
Coefficient d'amplification . . . . .	$g(k)$	=	400
Amplification factor . . . . .			
Steilheit (max.) . . . . .			
Inclinaison (max.) . . . . .	$S_{\max}$	=	1.3 mA/V
Slope (max.) . . . . .			
Steilheit . . . . .	$S$	=	1,2 mA/V
Inclinaison . . . . .			
Mutual Conductance . . . . .			
( $V_g = -0,5$ V)			
Steilheit . . . . .	$S$	=	0,014 mA/V
Inclinaison . . . . .			
Mutual Conductance . . . . .			
( $V_g = -7$ V)			
Innerer Widerstand (norm.) . . . . .			
Résistance intérieure (norm.) . . . . .	$R_i$	=	330000 Ohm
Internal resistance (norm.) . . . . .			
Anoden-Gitterkapazität . . . . .			
Capacité grille-plaque . . . . .	$C_{ag}$	=	0,008 $\mu\mu\text{F}$
Anode grid capacity . . . . .			
Max. Länge . . . . .			
Longueur max. . . . .	$l$	=	125 mm
Overall length . . . . .			
Grösster Durchmesser . . . . .			
Diamètre max. . . . .	$d$	=	50 mm
Max. diameter . . . . .			
Sockel . . . . .			
Culot . . . . .		=	A 32
Base . . . . .			
Sockelschaltung . . . . .			
Connexion du culot . . . . .		=	S II
Base connection . . . . .			
Anwendung: . . . . .	H.F. Verstärkung		
Applications: . . . . .	Amplification h.f.		
Function: . . . . .	H.F. amplification		
	Z.F. Verstärkung		
	Amplification m.f.		
	I.F. Amplification		

**PHILIPS  
MINIWATT  
B 255**

$V_f = 2,0V$   
 $V_{a\max} = 150V$   
 $V_{g'} = 90V$   
 $V_g = 0,5-7V$   
 $S_{\max} = 1,3\text{ mA/V}$

$I_a(\text{mA})$  6

5

4

3

2

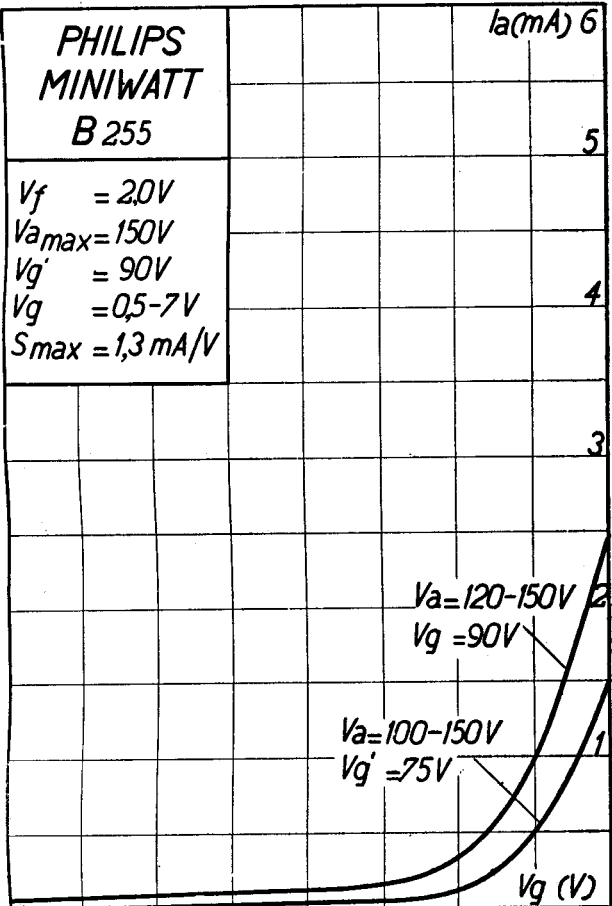
1

$V_a = 120-150V$   
 $V_{g'} = 90V$

$V_a = 100-150V$   
 $V_{g'} = 75V$

$V_g (V)$

-10      -7,5      -5      -2,5      0



## PHILIPS „MINIWATT“

Max. Anodenspannung . . . . .	$V_{aR}$	= 200 V
Tension anodique max. . . . .		
Max. anode voltage . . . . .	$V_{aL}$	= 150 V
Max. Anodenbelastung . . . . .	$W_a$	= 0,8 W
Dissipation anodique max. . . . .		
Max. anode dissipation . . . . .		
Max. Kathodenstrom . . . . .	$I_k$	= 5 mA
Courant cathodique max. . . . .		
Max. cathode current . . . . .		
Max. Schirmgitterspannung . . . . .	$V_{g^2}$	$\leq V_a - 25$ V
Tension de grille-écran max. . . . .		
Max. screen-grid voltage . . . . .		max 100 V
Max. Schirmgitterbelastung . . . . .	$W_{g^2}$	= 0,1 W
Dissipation de grille-écran max. . . . .		
Max. screen-grid dissipation . . . . .		
Mittlerer Schirmgitterstrom . . . . .	$I_{g^2}$	= 0,4 mA
Courant de grille-écran moyen . . . . .		
Mean screen-grid current . . . . .		
Ungefähre Grenzw. des Schirmgitterstr. . . . .	$I_{g^2 \min}$	= 0,1 mA
Limites approxim. du cour. de gr. écran . . . . .		
Approx. limits of screen-grid current . . . . .	$I_{g^2 \max}$	= 0,7 mA
Gitterstrom-Einsatzpunkt . . . . .	$V_{g1i}$	= -0,4 V
Point de commenc. du cour. de grille . . . . .		
Starting point of grid current . . . . .		
Max. Widerstand im Gitterkreis . . . . .	$R_{g1a}$	= 2 M. Ohm
Résistance max. dans le circuit de grille . . . . .		
Max. resistance in grid circuit . . . . .		
Kapazitäten . . . . .	$C_{g1}$	= 8,2 $\mu\mu\text{F}$
Capacités . . . . .	$C_a$	= 6,5 $\mu\mu\text{F}$
Capacities . . . . .	$C_{ug}$	= 0,008 $\mu\mu\text{F}$

$i_a$  (mA)

